УДК 629.7.077.4(045)

О. А. Сущенко, канд. техн. наук, проф., Н. Ф. Тупицин, канд. техн. наук, О. И. Хлопов, студ.

ХАРАКТЕРИСТИКИ ВНЕШНЕГО ОБЛИКА И ТРАЕКТОРИИ ПОЛЕТА БПЛА ПРИ ГАЗОДИНАМИЧЕСКОМ СПОСОБЕ ПОСАДКИ

Институт аэрокосмических систем управления HAV, e-mail: iesy@nau.edu.ua

Рассмотрены характеристики внешнего облика и траектории полета при газодинамическом безаэродромном способе его посадки. Определены требования к аэродинамической компоновке и траектории захода беспилотного летательного аппарата на посадку.

Ключевые слова: газодинамический безаэродромный способ посадки, аэродинамическая схема, система управления, траектория посадки.

Вступление и анализ проблемы. Как известно [1], наиболее распространены следующие способы безаэродромной посадки беспилотного летательного аппарата (БПЛА):

- в сеть;
- с помощью парашюта;
- на трос, натянутый поперек траектории летательного аппарата (ЛА).

Новый газодинамический безаэродромный способ посадки (ГБСП) [2] обладает определенными преимуществами перед способами посадки приведенными выше, в частности, устройство, реализующее ГБСП, может быть размещено на мобильной посадочной платформе I, как это показано на рис. 1, и доставлено в заданный район действия БПЛА 6, а также реализовано для взлета БПЛА 6. Вместе с этим реализация ГБСП для конкретного БПЛА накладывает определенные требования на его облик, габариты и систему управления.

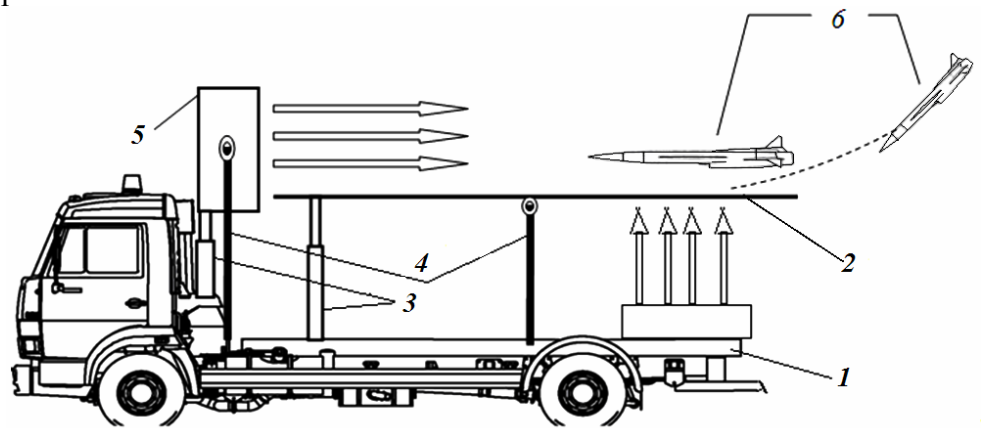


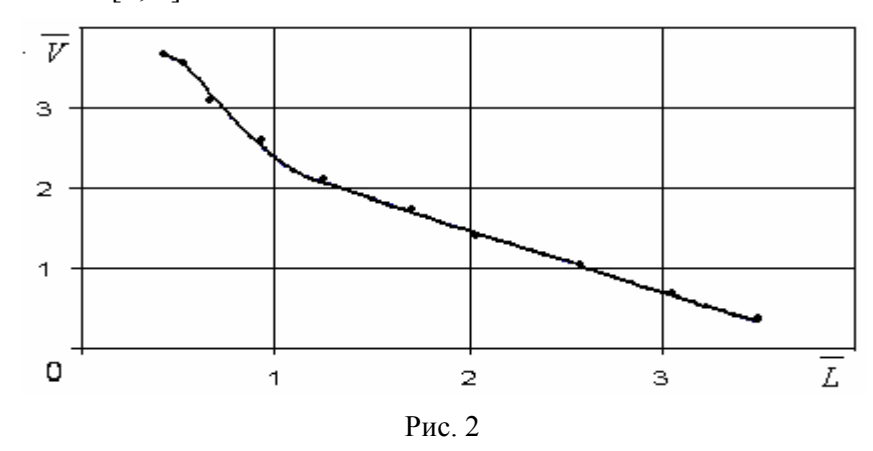
Рис. 1

Постановка задачи. Определить и обосновать требования к внешнему облику, габаритам и кинематике полета БПЛА, реализующего ГБСП; выбрать аэродинамическую схему ЛА, этапы посадки и траектории его полета при подлете к устройству посадки [3], оценить влияние неравномерности воздушного потока в тормозящей БПЛА струе на динамику его полета при посадке.

Решение задачи. Для реализации ГБСП необходимо ограничить размах крыла (L), а точнее удлинение крыла, для уменьшения потребного диаметра тормозящей БПЛА струи от вентилятора 5. Это позволит уменьшить габариты устройства для посадки и снизить потребляемую им мощность. При этом целесообразно использовать для облика БПЛА аэродинамическую схему "утка", поскольку рули в такой аэродинамической схеме будет обеспечивать более эффективное управление ЛА в струе, которая его тормозит, чем при

нормальной аэродинамической схеме. Скорость воздушного потока в струе, тормозящей БПЛА, будет иметь большее значение у носика, чем в его хвостовой части.

Уменьшение величины скорости на оси дозвуковой струи вдоль посадочной платформы (рис. 2) на протяжении длины корпуса БПЛА зависит от многих факторов и может достигать 30% [1; 6].



Снижение величины скорости происходит также и в поперечном направлении от оси струи, создаваемой для торможения БПЛА. В связи с этим не следует удалять на значительные расстояния аэродинамические органы управления ЛА от его продольной оси. К настоящему времени разработано большое количество аэродинамических компоновок облика ЛА. В данном случае для реализации ГБСП можно использовать следующие аэродинамические схемы ЛА [7]: "бесхвостка"(a), "утка" (δ), бипланную схему (ϵ), которые показаны на рис. 3.

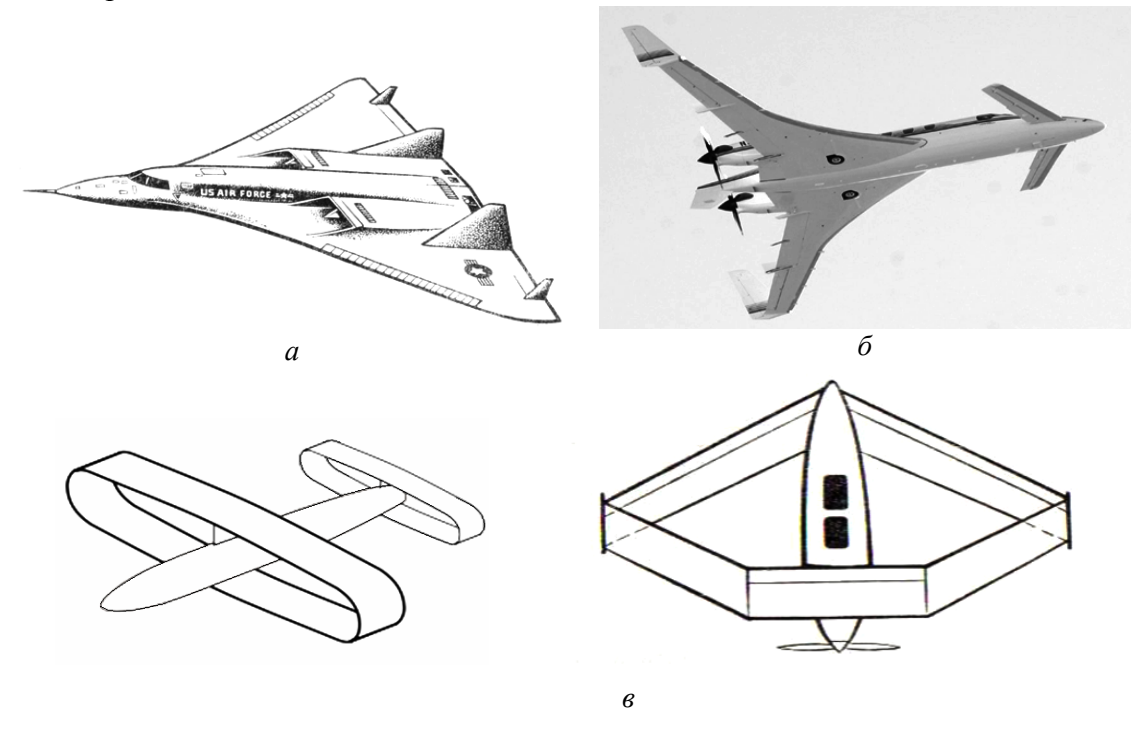
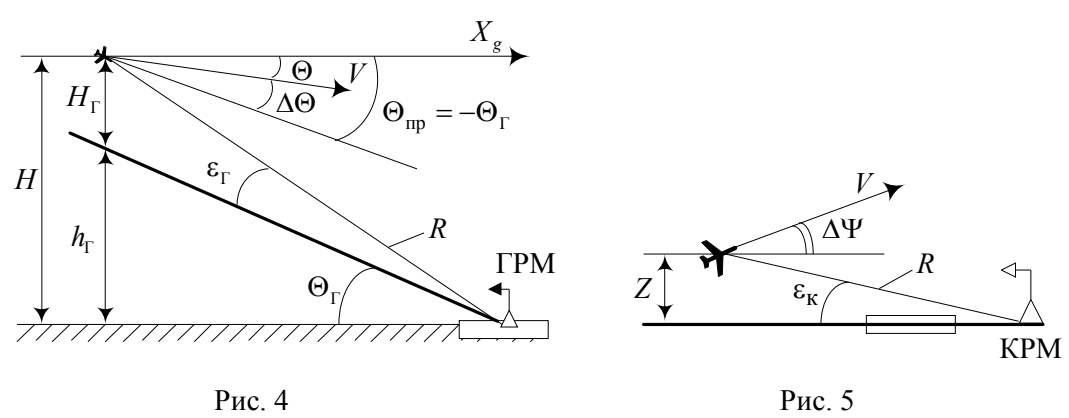


Рис. 3

Этап посадки и траектории захода на посадку для самолетов [4] и БПЛА, как правило, отличаются. В частности, траектории захода на посадку для БПЛА [4; 5] существенно зависят от выбранного способа посадки и реализующего его устройства. Вместе с тем для анализа динамики контуров управления БПЛА на этапе захода на посадку можно применить математические модели, приведенные в работе [4].

Примем, что заход на посадку осуществляется по прямолинейной траектории. В этом случае для анализа динамики контуров управления БПЛА можно использовать линеаризованные модели изолированных продольного и бокового движений, дополненные кинематическими уравнениями, которые связывают известные параметры движения ЛА с навигационными параметрами ε_{Γ} , ε_{κ} , причем параметр ε_{Γ} — угловое отклонение центра масс (ЦМ) ЛА от плоскости глисады (ПГ) (рис. 4), а параметр ε_{κ} — угловое отклонение ЦМ ЛА от плоскости посадочного курса (ППК) (рис. 5). На рис. 4 и 5 введены также следующие обозначения: R — дальность от ЦМ ЛА до глисадного радиомаяка (ГРМ) на рис. 4 и курсового радиомаяка (КРМ) на рис. 5; V — скорость ЦМ ЛА; h_{Γ} — текущая высота ПГ; H_{Γ} — линейное отклонение ЦМ ЛА от ПГ; $\theta_{\rm пp}$ — программный угол наклона траектории; H — текущая высота ЦМ ЛА; Z — текущее отклонение ЦМ ЛА от равносигнальной зоны КРМ.



Учитывая малость углов $\Delta\theta, \theta_{_{\Gamma}}, \epsilon_{_{\Gamma}}$, получим следующую систему кинематических уравнений движения ЛА в вертикальной плоскости:

$$\dot{R} = -V;$$

$$\dot{H}_{r} = V\Delta\theta;$$

$$H_{r} = R\varepsilon_{r},$$
(1)

где $\Delta\theta$ – отклонение поточного угла θ от программного.

Уравнение, устанавливающее связь между изменением угла наклона траектории $\Delta\theta$ и отклонением от глисады в вертикальной плоскости, как это следует из системы (1), можно записать в виде

$$V\Delta\theta = -V\varepsilon_{r} + R\dot{\varepsilon}_{r}, \qquad (2)$$

и аналогично уравнение, устанавливающее связь между изменением заданного курса $\Delta\Psi$ и отклонением от ППК в горизонтальной плоскости, имеет вид

$$-V\Delta\Psi = -V\varepsilon_{\kappa} + R\dot{\varepsilon}_{\kappa}. \tag{3}$$

Уравнения (2), (3) после представления их в операционной форме примут вид:

$$(T_{\Gamma}p-1)\varepsilon_{\Gamma}(p)=\theta(p);$$

$$(T_{\kappa}p-1)\varepsilon_{\kappa}(p) = -\Psi(p)$$
,

где $T_{_{\Gamma}} = T_{_{K}} = R/V$; причем далее могут быть записаны соответствующие передаточные функции, которые дополнят известные структурные схемы продольного и бокового движения ЛА для применения их на этапе посадки.

Дифференциальные уравнения (2) и (3) имеют одинаковую структуру, поэтому для исследования кинематики посадки ограничимся только анализом движения ЛА в вертикальной плоскости.

Пусть величина $\Delta\theta$ на определенном участке посадки, начиная с момента времени t=0, имеет постоянное значение, т. е. $\Delta\theta={\rm const.}\ {\rm B}$ этом случае уравнение (2) может быть решено аналитически, а его решение относительно $\epsilon_{\rm r}$ записано в виде:

$$\varepsilon_r(t) = \varepsilon_r(t=0)R(t=0)/R(t), \qquad (4)$$

где величины $\varepsilon_{\Gamma}(t=0)$ и R(t=0) определяют угловое отклонение и дальность от ЦМ ЛА до ГРМ в момент времени t=0, а $\varepsilon_{\Gamma}(t)$, R(t) — в произвольный момент времени t. Из уравнения (4) следует, что при уменьшении величины R(t) значение угла $\varepsilon_{\Gamma}(t)$ должно увеличиваться, а это не приводит к решению задачи. Таким образом можно сделать вывод о том, что допущение о постоянстве величины $\Delta\theta$ не позволяет найти траекторию движения ЛА при посадке.

Положим значение $\Delta\theta$ численно равным величине $\epsilon_{_{\Gamma}}(t)$. При этом уравнение (2) легко проинтегрировать и получить решение в виде

$$\Delta\theta(t) = C_0 - \varepsilon_r(t)$$

где
$$C_0$$
 = const = $\frac{R(t)}{R(t=0)} \left[\varepsilon_{_\Gamma}(t=0) + \Delta \theta(t=0) \right]$.

Заключение. Проанализированы и обоснованы требования к харак-теристикам внешнего облика и траекториям посадки БПЛА, которые необходимы для реализации газодинамического безаэродромного способа его посадки.

Список литературы

- 1. *Синеглазов В. М.* Спосіб посадки літального апарата / В. М. Синеглазов, М. Ф. Тупіцин // Електроніка та системи управління. -2010. №2(24). С. 76 81.
- 2. *Пат. України №52597*. Спосіб посадки літального апарата / М. Ф. Тупіцин, Н. М. Тупіцина Заявл. 12.05.2010; Опубл. 25.08.2010, Бюл. №16. 10 с.
- 3. *Пат. України №52596*. Пристрій посадки літального апарата / М. Ф. Тупіцин, Н. М. Тупіцина Заявл. 12.05.2010; Опубл. 25.08.2010, Бюл. №16. 8 с.
- 4. *Синеглазов В. М.* Автоматизовані системи управління повітряних суден: підруч. /В. М. Синєглазов, М. К. Філяшкін. К.: НАУ, 2003. 502 с.
- 5. *Голзин А. В.* Снижение беспилотного летательного аппарата по спирали. / А. В. Голзин, Е. В. Фесенко, В. Г. Шагаев Изв. вузов: Авиационная техника. Казань, 2009. №3. С. 12 16.
- 6. Молчанов А. М. Расчет сверхзвуковых неизобарических струй с поправками на сжимамемость в модели турбулентности / А. М. Молчанов // Вестник МАИ. -2009. -T.16. -№1 -C. 38 -48.
- 7. *Соболев Д. А.* Самолеты особых схем / Д. А. Соболев М.: Машиностроение, 1999. 176 с.

О. А. Сущенко, М. Ф. Тупіцин, О. І. Хлопов

Характеристики зовнішнього обрису і траєкторії польоту безпілотного літального апарата за газодинамічного способу посадки

Розглянуто характеристики зовнішнього обрису і траєкторії польоту за газодинамічного безаеродромного способу його посадки. Визначено вимоги до аеродинамічного компонування і траєкторії заходу безпілотного літального апарата на посадку.

O. A. Suhchenko, N. F. Tupitsin, O. I. Khlopov

Characteristics of appearance and the UAV flight path for the gas-dynamic method of landing It is considered a characteristics the gas-dynamic method of an unmanned aerial vehicle (UAV) landing. Requirements to aerodynamic schemes and control system of UAV for this method of landing are offered.